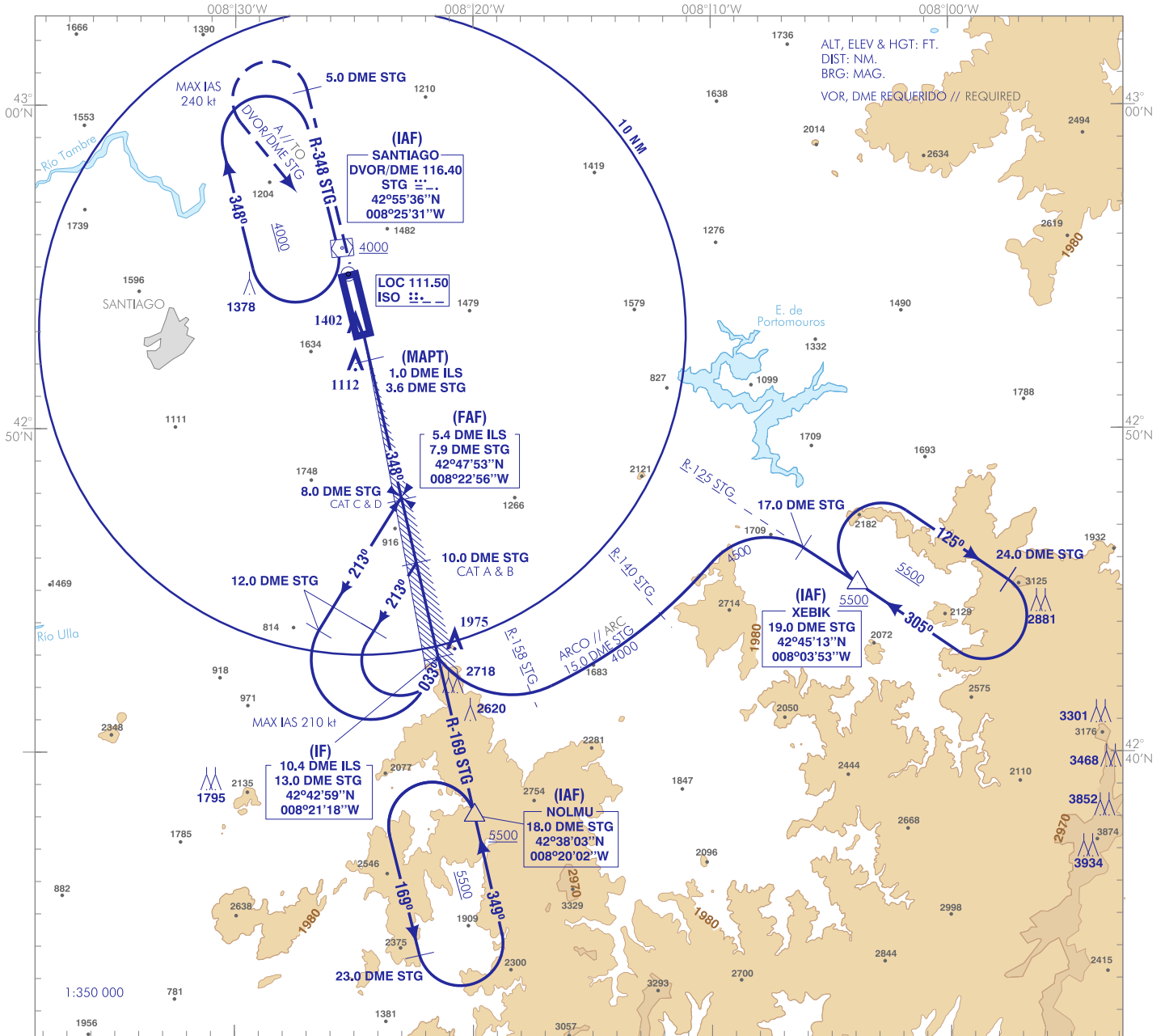


CARTA DE APROXIMACIÓN
POR INSTRUMENTOS-OACI

ELEV AD
1211
VAR 2°W (2020)

APP 120.200
TWR 118.750
GMC 121.700
ATIS 127.750

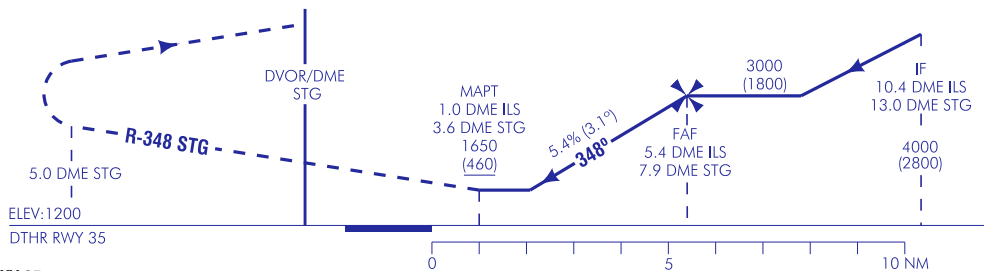
SANTIAGO/Rosalía de Castro
LOC Z
RWY 35



FRUSTADA: SUBIR EN R-168 STG AL DVOR/DME STG. PROCEDER POR R-348 STG HASTA 5.0 DME STG. VIRAR A LA IZQUIERDA (IAS MAX 240 kt) DIRECTO AL DVOR/DME STG SUBIENDO A 4000 PARA INTEGRARSE A LA ESPERA.
MISSED APCH: CLIMB ON R-168 STG TO DVOR/DME STG. PROCEED ON R-348 STG UP TO 5.0 DME STG. TURN LEFT (MAX IAS 240 kt) DIRECT TO DVOR/DME STG CLIMBING TO 4000 TO JOIN THE HOLDING PATTERN.

NOTAS:
 - PRECAUCIÓN: EL ILS PUEDE PROPORCIONAR INDICACIONES FALSAS DEL LOC Y GP FUERA DEL ÁREA DE COBERTURA.

NOTES:
 - CAUTION: THE ILS COULD GIVE FALSE LOC AND GP INDICATIONS OUTSIDE THE AREA OF COVERAGE.

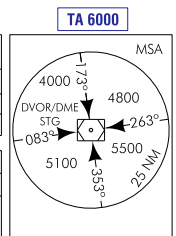


HGT REF ELEV DTHR RWY 35

		OCA/H	A	B	C	D
STA	2.5%			1650 (460)		
En circuito (H) sobre		1211	2000 (790)	2100 (890)	2200 (990)	

GS	kt	80	100	120	140	160	180
FAF-THR: 5.4 NM	mins	4:02	3:13	2:41	2:18	2:01	1:47
FAF-MAPT: 4.4 NM	mins	3:17	2:37	2:11	1:52	1:38	1:27
ROD: 5.2 %	ft/min	434	543	652	760	869	977

ALT/HGT DME (ILS) FNA											
13	12	11	10	9	8	7	6	5	4	3	
								2880 (1680)	2560 (1360)	2230 (1030)	1910 (710)



CAMBIOS: FREQ. ATIS: CHANGE: ATIS FREQ.

SANTIAGO/Rosalía de Castro AD

REQUISITOS DE LA BASE DE DATOS AERONÁUTICA
 AERONAUTICAL DATABASE REQUIREMENTS

PROCEDIMIENTOS DE APROXIMACIÓN POR INSTRUMENTOS // INSTRUMENT APPROACH PROCEDURES

RWY 35 LOC Z

PUNTO POINT	LATITUD LATITUDE	LONGITUD LONGITUDE	AZIMUT VERDADERO TRUE BEARING	DISTANCIA DME DME DISTANCE (NM)
DVOR/DME STG (IAF)	42°55'36.1"N	008°25'31.2"W	-	-
NOLMU (IAF)	42°38'03.4"N	008°20'02.1"W	167.00° (STG)	18.00 DME STG
XEBIK (IAF)	42°45'13.4"N	008°03'53.1"W	123.00° (STG)	19.00 DME STG
IF	42°42'58.6"N	008°21'17.8"W	166.15° (LOC ISO)	10.43 DME ILS
FAF	42°47'53.3"N	008°22'56.2"W	166.15° (LOC ISO)	5.37 DME ILS
MAPT	42°52'08.2"N	008°24'21.5"W	166.15° (LOC ISO)	1.00 DME ILS
Aproximación final de no precisión - Ángulo de descenso (Pendiente) // Non-precision final approach - Descent angle (Slope)				3.07° (5.36%)